

分岐集合の数値計算

吉田勝俊

2007年12月11日

1 力学系

一定の規則に従って時間変動するシステムを、力学系という。力学系の配位 (物体なら位置と向き) を表すのに必要な変数の組 $(x_1, x_2, \dots, x_n) \in \mathbb{R}^n$ を、一般化座標という。一般化座標が張る数ベクトル空間を、配位空間という。一般化座標の時間微分を加味した、

$$(x_1, \dot{x}_1, x_2, \dot{x}_2, \dots, x_n, \dot{x}_n) \in \mathbb{R}^{2n}$$

が張る数ベクトル空間を、相空間という。
時間変動が、 n 連立の微分方程式、

$$\begin{cases} \dot{x}_1 = f_1(x_1, x_2, \dots, x_n) \\ \dot{x}_2 = f_2(x_1, x_2, \dots, x_n) \\ \vdots \\ \dot{x}_n = f_n(x_1, x_2, \dots, x_n) \end{cases} \quad (1)$$

に支配される力学系を考える。解は相空間上の曲線となるが、これを相軌道という。ある瞬間の力学系の状態は相軌道上の1点に対応する。このような、右辺が時間 t を陽には含まない力学系を、自律系という。

これに対して、右辺が時刻 t を陽に含む系：

$$\begin{cases} \dot{x}_1 = f_1(x_1, x_2, \dots, x_n, t) \\ \dot{x}_2 = f_2(x_1, x_2, \dots, x_n, t) \\ \vdots \\ \dot{x}_n = f_n(x_1, x_2, \dots, x_n, t) \end{cases} \quad (2)$$

を、非自律系という。具体例を挙げると、

$$\dot{x}_1 = x_2, \quad \dot{x}_2 = -cx_2 - kx_1 - x_1^3$$

は自律系である。その一方で、

$$\dot{x}_1 = x_2, \quad \dot{x}_2 = -cx_2 - kx_1 - \epsilon x_1^3 + A \cos \omega t$$

とか、

$$\dot{x}_1 = x_2, \quad \dot{x}_2 = -cx_2 - kx_1 \cos \omega t$$

などは陽に t を含むので非自律系である。ようするに、非自律系には、 x_i や \dot{x}_i と全く無関係な時間変動が、外部から注入される。

2 自律系の平衡点

自律系 (1) を考える。そこに至ると時間変動が止まる相空間の点を、平衡点または不動点という。この定義より、平衡点では一般化座標の時間微分が全て0になる。

$$\dot{x}_1 = \dot{x}_2 = \dots = \dot{x}_n = 0$$

これを自律系 (1) に代入すれば、平衡点が満たすべき条件として、

$$\begin{cases} f_1(x_1, x_2, \dots, x_n) = 0 \\ f_2(x_1, x_2, \dots, x_n) = 0 \\ \vdots \\ f_n(x_1, x_2, \dots, x_n) = 0 \end{cases}$$

が得られる。

次の2次元力学系を例題に、数値計算法を示そう。

$$\begin{cases} \dot{x}_1 = x_2, \\ \dot{x}_2 = -x_2 - px_1 - x_1^3 + F. \end{cases} \quad (3)$$

この系を、3次のDuffing系という。一般に、復元力が多項式で表わされる振動系をDuffing系という。

2.1 平衡点の探索

自律系 (3) の平衡点は、停止条件 $\dot{x}_1 = \dot{x}_2 = 0$ より、

$$x_2 = 0, \quad -px_1 - x_1^3 + F = 0$$

を満足する。簡単のため $p = -1, F = 0$ としよう。

このとき、解くべき非線形方程式は、

$$x_1 - x_1^3 = 0$$

となるから、この場合の平衡点は手計算できる。

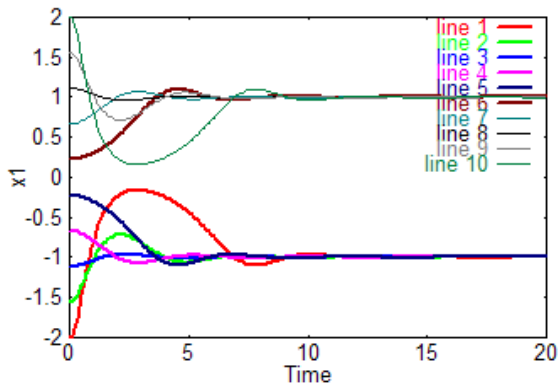
$$x_1(1 - x_1^2) = 0 \quad \therefore x_1 = 0, \pm 1$$

以上、この系には平衡点が3個ある。

この例題は幸運にも手で解けたが、一般の非線形方程式は手では解けないので、数値計算の実例を示していく。

数値積分の欠点 平衡点とは、現象的には定常状態であるから、元の微分方程式 (3) の数値解を求めて観察すれば、いずれ平衡点に収束しそうである。

```
function dx = eqn(x, t)
    global P;
    dx(1) = x(2);
    dx(2) = -x(2) + x(1) - x(1)**3;
endfunction
t=linspace( 0.0, 20.0, 200 );
initp=linspace( -2.0, 2.0, 10 );
all=[];
for i=1:10
    sol = lsode( "eqn", [initp(i); 0.0], t );
    all=[all, sol(:,1)];
endfor
xlabel("Time");
ylabel("x1");
plot(t,all);
```



このように、この方法の欠点として、3つある平衡点のうち $x = \pm 1$ は検出できるが、 $x = 0$ が検出できない。理由は後述するように、 $x = \pm 1$ が安定平衡点、 $x = 0$ が不安定平衡点だからである。不安定な平衡点 $x = 0$ は、自然状態では発現しない*1。自由状態の振り子を例にとると、下死点が安定平衡点、上死点が不安定平衡点である。数値積分法は、このような物理現象を忠実にシミュレートしてしまうので、不安定平衡点の数値解もまた、通常の観測には掛からない*2

作図による方法 そこで少々泥臭いが、平衡点の方程式のグラフを書く方法を紹介しておく。ようするに、(速度の項を零においた) 静的な復元力、

$$F(x_1) = -(x_1 - x_1^3)$$

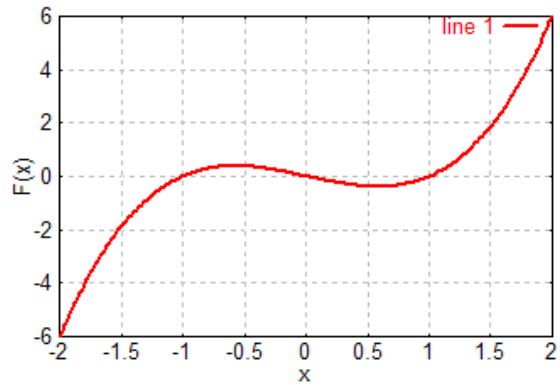
のグラフを書いて*3、 x_1 軸との交点を求めれば、それが平衡点である。

```
function y = F(x)
    y = -(x - x.**3);
endfunction
x=linspace( -2.0, 2.0, 200 );
xlabel("x"); ylabel("F(x)"); grid;
plot(x,F(x));
```

*1 ただし、クーロン摩擦などがあるときは、不安定平衡点に静止する状態が安定に観察できる。

*2 不安定平衡点が求まる数値計算法も存在するが (Shooting 法など)、プログラムの微調整に熟練が必要である。

*3 これを復元力とみたときに辻褃が合うように、マイナスを付けたが、 x_1 軸との交点に影響はない。



x_1 軸との交点は、やはり 3 点ある。数値で求めるには $F(x)$ が十分小さくなる x を拾ってやればよからう。

```
function y = F(x)
    y = -(x - x.**3);
endfunction
n=5000; eps=1e-3;
x=linspace( -2.0, 2.0, n );
fp0=[];
for i=1:n
    if( abs(F(x(i))) < eps )
        printf( "%e %e\n", x(i), F(x(i)) );
        fp0 = [fp0, x(i)];
    endif
endfor
save fp0.dat fp0
```

これを実行すると、(必要なら n や eps を調整しながら)

```
-9.998000e-01 3.999600e-04
-4.000800e-04 4.000800e-04
4.000800e-04 -4.000800e-04
9.998000e-01 -3.999600e-04
```

のような出力を得る。計算結果を収めたベクトル変数 $fp0$ の内容は $fp0.dat$ というファイルに保存される。 $x = -1, 0, 1$ 付近の点出力されており、粗いながらも、平衡点の推定値が得られている。

ニュートン法 作図による推定値の精度は $|F(x)| < 10^{-4}$ 程度だが、これらを「磨く」ために、ニュートン法を使おう。Octave にはそれ用に $fsolve$ という関数を用意されている。

```
load fp0.dat
dn=length(fp0);
function y = F(x)
    y = -(x - x.**3);
endfunction
fp=[];
for i=1:dn
    fp(i)=fsolve("F", fp0(i));
    printf( "%e %e\n", fp(i), F(fp(i)) );
endfor
save fp.dat fp
```

これを実行すると、

```
-1.000000e+00 -0.000000e+00
0.000000e+00 -0.000000e+00
0.000000e+00 -0.000000e+00
1.000000e+00 -0.000000e+00
```

となり，計算機精度の範囲で正確な平衡点が求まる．ここでは幸運にも，厳密解と同じ数値が得られたが，通常は 10^{-9} 程度の精度なら満足することになる．

まとめ 最初からニュートン法を使えばよさそうなものだが，そうできない理由がある．ニュートン法は，平衡点の精度を「磨く」用途には適しているが，平衡点を見付ける用途には適していないのである．これはよく知られたニュートン法の欠点で，ニュートン法の初期値，

```
fp(i)=fsolve("F", fp0(i));
~~~~~ 初期値
```

を，厳密解から離れた値にセットすると，ニュートン法は厳密解に到達できない．

全ての平衡点を漏れなく探索できる数値解法があれば理想だが，現状では，数値積分や作図，またはその他のアイデアで，臨機応変に平衡点を見付けていくしかない．特に数値積分が不安定平衡点を見逃すことには，十分留意すべきである．いったん見付かりさえすれば少々精度が悪くても，ニュートン法で磨ける．

2.2 平衡点の安定性

第 1 変分 $y = f(x_1, \dots, x_n)$ という関数関係において， x_i を独立変数， y を従属変数と呼んだ．ここで，独立変数 x_i を一斉に，ちょっとだけずらそう．

$$x_i \mapsto x_i + \xi_i \quad (i = 1, 2, \dots, n) \quad (4)$$

$\xi_i \ll 1$ は微小な変数である．このとき，特別な場合を除けば，従属変数 y もズレるはずだ．

従属変数 y に起こるズレ η を，ごく自然に，

$$\eta := f(x_1 + \xi_1, \dots, x_n + \xi_n) - f(x_1, \dots, x_n) \quad (5)$$

と定義する．ここで，独立変数のズレ ξ_i が十分に微小で，関数 $f(x_1, \dots, x_n)$ が全微分可能ならば，従属変数のズレ η は，独立変数のズレ ξ_i の一次式によって，次のように近似計算できる．

$$\eta \approx \frac{\partial f}{\partial x_1} \xi_1 + \dots + \frac{\partial f}{\partial x_n} \xi_n \quad (6a)$$

1 次近似式 (6a) を， $y = f(x_1, \dots, x_n)$ の第 1 変分という．定義式 (5) を用いれば，近似式 (6a) を，

$$f(x_1 + \xi_1, \dots, x_n + \xi_n) \approx f(x_1, \dots, x_n) + \frac{\partial f}{\partial x_1} \xi_1 + \dots + \frac{\partial f}{\partial x_n} \xi_n \quad (6b)$$

と表記しておくこともできる．

ヤコビ行列 自律系 (1) にズレ (4) を代入すると，

$$\begin{aligned} (x_i + \xi_i) &= f_i(x_1 + \xi_1, \dots, x_n + \xi_n) \\ \Rightarrow \dot{x}_i + \dot{\xi}_i &= pf(x_1, \dots, x_n) \\ &\quad + \frac{\partial f_i}{\partial x_1} \xi_1 + \dots + \frac{\partial f_i}{\partial x_n} \xi_n \quad \therefore (6b) \end{aligned}$$

となるが，下線部は元の式 (1) だからキャンセルして，ズレだけの微分方程式，

$$\dot{\xi}_i = \frac{\partial f_i}{\partial x_1} \xi_1 + \dots + \frac{\partial f_i}{\partial x_n} \xi_n$$

が得られる． $i = 1, \dots, n$ について全部並べて，行列表記すると，

$$\begin{bmatrix} \dot{\xi}_1 \\ \dot{\xi}_2 \\ \vdots \\ \dot{\xi}_n \end{bmatrix} = \underbrace{\begin{bmatrix} \frac{\partial f_1}{\partial x_1} & \frac{\partial f_1}{\partial x_2} & \dots & \frac{\partial f_1}{\partial x_n} \\ \frac{\partial f_2}{\partial x_1} & \frac{\partial f_2}{\partial x_2} & \dots & \frac{\partial f_2}{\partial x_n} \\ \vdots & \vdots & \ddots & \vdots \\ \frac{\partial f_n}{\partial x_1} & \frac{\partial f_n}{\partial x_2} & \dots & \frac{\partial f_n}{\partial x_n} \end{bmatrix}}_A \begin{bmatrix} \xi_1 \\ \xi_2 \\ \vdots \\ \xi_n \end{bmatrix} \quad (7)$$

となるが，これを，自律系 (1) の第 1 変分方程式という．行列部分 A を，自律系 (1) のヤコビ行列という．

自律系 (1) を，太字のベクトル表記，

$$\mathbf{x} := \begin{bmatrix} x_1 \\ \vdots \\ x_2 \end{bmatrix}, \quad \mathbf{f}(\mathbf{x}) := \begin{bmatrix} f_1(x_1, \dots, x_n) \\ \vdots \\ f_n(x_1, \dots, x_n) \end{bmatrix}$$

によって， $\dot{\mathbf{x}} = \mathbf{f}(\mathbf{x})$ と書くとき，ヤコビ行列 A は $\frac{\partial \mathbf{f}}{\partial \mathbf{x}}$ とか $D_{\mathbf{x}} \mathbf{f}$ と表記されることが多い*4．

線形化系の安定性 試しに Duffing 系，

$$\begin{cases} \dot{x}_1 = x_2, \\ \dot{x}_2 = -x_2 + x_1 - x_1^3. \end{cases}$$

の第 1 変分方程式を求めてみよう． P は定数とする．式 (7) に当てはめると，ヤコビ行列は，

$$\begin{bmatrix} \frac{\partial(\text{第 1 式の右辺})}{\partial x_1} & \frac{\partial(\text{第 1 式の右辺})}{\partial x_2} \\ \frac{\partial(\text{第 2 式の右辺})}{\partial x_1} & \frac{\partial(\text{第 2 式の右辺})}{\partial x_2} \end{bmatrix} = \begin{bmatrix} 0 & 1 \\ 1 - 3x^2 & -1 \end{bmatrix} \quad (8)$$

となり，第 1 変分方程式は，

$$\begin{bmatrix} \dot{\xi}_1 \\ \dot{\xi}_2 \end{bmatrix} = \begin{bmatrix} 0 & 1 \\ 1 - 3x^2 & -1 \end{bmatrix} \begin{bmatrix} \xi_1 \\ \xi_2 \end{bmatrix} \quad (9)$$

となる．ようするに，Duffing 系に与えるズレ ξ が十分に小さければ，ズレ ξ の時間発展は線形力学系 (9) で近似される．このことから，第 1 変分方程式を線形化方程式もしくは線形化系と呼ぶことがある．

線形力学系の安定性は，システム行列*5の固有値で判別できた．Duffing 系の線形化系 (9) のシステム行列はヤコビ行列 (8) だが，その成分には，元の Duffing 系の変位 x が含まれている．ズレ ξ の安定性は， x に何を代入するかで変化する．

この問題について，次の定理が知られている*6．

*4 $\frac{\partial \mathbf{f}}{\partial \mathbf{x}}$ は式 (7) に出てきた行列の略記である．ベクトルでベクトルを偏微分する方法を独自にみだす必要はない．

*5 $\dot{\mathbf{x}} = A\mathbf{x}$ の A のこと．

*6 線形化系の固有値実部が零のときには，分岐という非線形現象が起り，定理が成立しなくなるのだが，詳しくは後述する．

- 非線形力学系と線形化系の解軌道が似るのは、平衡点 $x = \bar{x}$ の近くである。

この定理を前提に、平衡点まわりの線形化系の固有値を求める。

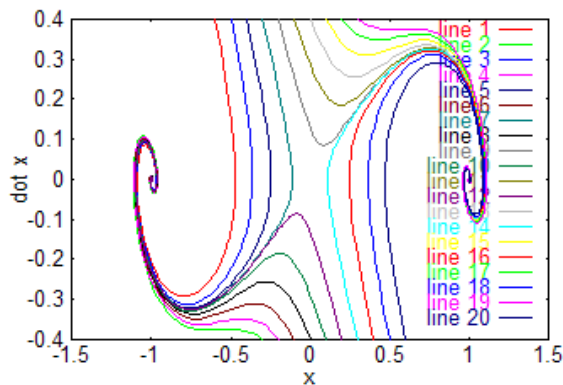
```
load fp.dat #fp
fixp=fp; fp=[]; fp=fixp([1,2,4]);
function A = jac( x )
    A = [0, 1; 1-3*x**2, -1];
endfunction
ev(1,:)=eig(jac(fp(1)))';
ev(2,:)=eig(jac(fp(2)))';
ev(3,:)=eig(jac(fp(3)))';
fp'
ev
save fp_ev.dat fp ev
```

実行すると、

```
> octave -q DuffFixpEig.m
ans =
  -1
   0
   1
ev =
-0.50000 - 1.32288i  -0.50000 + 1.32288i
-1.61803 + 0.00000i  0.61803 + 0.00000i
-0.50000 - 1.32288i  -0.50000 + 1.32288i
```

となる。平衡点 $x = -1, 1$ は固有値 $-0.50000 \pm 1.32288i$ より安定フォーカス、平衡点 $x = 0$ は固有値 $-1.61803, 0.61803$ よりサドルであることが分かる。以下、元の Duffing 系の解軌道を示す。

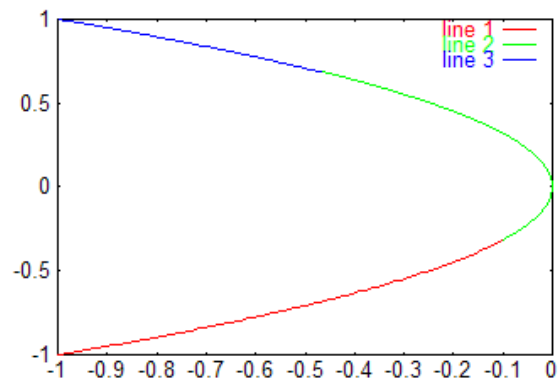
```
function dx = eqn(x, t)
    dx(1) = x(2);
    dx(2) = -x(2) + x(1) - x(1)**3;
endfunction
t=linspace( 0.0, 20.0, 200 );
ip1=linspace( -0.6, 0.3, 10 );
ip2=linspace( -0.3, 0.6, 10 );
x=[]; dx=[];
for i=1:10
    sol = lsode( "eqn", [ip1(i); 0.4], t );
    x=[x, sol(:,1)]; dx=[dx, sol(:,2)];
    sol = lsode( "eqn", [ip2(i); -0.4], t );
    x=[x, sol(:,1)]; dx=[dx, sol(:,2)];
endfor
xlabel("x");
ylabel("dot x");
plot(x,dx); pause;
```



2.3 平衡点の接続

平衡点の追跡 パラメータ p を少しずつ変えながらニュートン法を繰り返すと、平衡点 x をパラメータの関数 $x(p)$ として描ける。得られたグラフを分岐図という。

```
load fp.dat
global x p; p=-1;
function y = F(x,p)
    y = p*x + x.**3;
endfunction
function y = F_x(x)
    global p;
    y = F(x,p);
endfunction
parn = 101;
bifpar(1,:)=linspace(-1,-0.1,parn); # p
x0=fp(1); bif(1,:)=[]; # result
for i=1:parn
    p = bifpar(1,i); x0=fsolve("F_x", x0);
    bif(1,i) = x0;
endfor
plot( bifpar(1,:), bif(1,:) );
function y = F_p(p)
    global x;
    y = F(x,p);
endfunction
p0 = bifpar(1,parn); # last param
x0 = bif(1,parn); # last fixp
bifpar(2,:)=linspace( x0, x0+1, parn ); # x
bif(2,:)=[]; # result
for i=1:parn
    x = bifpar(2,i); p0=fsolve("F_p", p0);
    bif(2,i) = p0;
endfor
plot( bifpar(1,:), bif(1,:), bif(2,:), bifpar(2,:) );
p0 = bif(2,parn); # last param
x0 = bifpar(2,parn); # last fixp
bifpar(3,:)=linspace(p0,-1,parn); # p
bif(3,:)=[]; # result
for i=1:parn
    p = bifpar(3,i); x0=fsolve("F_x", x0);
    bif(3,i) = x0;
endfor
plot( bifpar(1,:), bif(1,:), bif(2,:), bifpar(2,:), \
      bifpar(3,:), bif(3,:) );
input("hit any key");
fpset1(:,1) = [bifpar(1,:),bif(2,:),bifpar(3,:)]';
fpset1(:,2) = [bif(1,:),bifpar(2,:),bif(3,:)]';
save fpset1.dat fpset1
plot( fpset1(:,1), fpset1(:,2) ); pause;
```



グラフが垂直に立ってくると追跡困難になるので、途中で掃引方向を変更し、平衡点 x を少しずつ変えながらパラメータ p を求めて、関数 $p(x)$ を描いている。

Exercise 1 平衡点 $x = 0$ について、 $p = -1$ から 1 まで接続せよ。

プログラム例を示す。

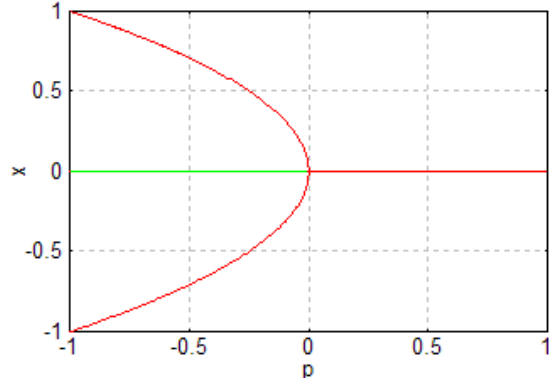
```
load fp.dat
global x p; p=-1;
function y = F(x,p)
    y = p*x + x.**3;
endfunction
function y = F_x(x)
    global p;
    y = F(x,p);
endfunction
parn = 301;
bifpar(1,:)=linspace(-1,1,parn); # p
x0=fp(2); bif(1,:)=[]; # result
for i=1:parn
    p = bifpar(1,i); x0=fsolve("F_x", x0);
    bif(1,i) = x0;
endfor
plot( bifpar(1,:), bif(1,:) );
input("hit any key");
fpset2(:,1) = bifpar(1,:);
fpset2(:,2) = bif(1,:);
load fpset1.dat
plot( fpset1(:,1), fpset1(:,2), \
      fpset2(:,1), fpset2(:,2) );
save fpset2.dat fpset2
pause;
```

平衡点の安定判別 固有値実部が負となる安定平衡点と、それ以外の不安定平衡点を分離して、色分けしてプロットする方法を示す。

```
load fpset1.dat
load fpset2.dat
function A = jac( x, p )
    A = [0, 1; -p-3*x**2, -1];
endfunction
function [s, u] = stab(fpset)
    x_s = x_u = p_s = p_u = [];
    for i=1:rows(fpset)
        p = fpset(i,1);
        x = fpset(i,2);
        ev_real = real(eig(jac(x,p)));
        if ( ev_real(1) < 0 )
            p_s=[p_s, p]; x_s=[x_s, x];
        else
            p_u=[p_u, p]; x_u=[x_u, x];
        endif
    endfor
    s=[]; u=[];
    if ( length(p_u) > 0 )
        u=[u, [p_u;x_u]];
    endif
    if ( length(p_s) > 0 )
        s=[s, [p_s;x_s]];
    endif
endfunction

[s1,u1]=stab(fpset1);
[s2,u2]=stab(fpset2);
fpset_s=[s2,s1]; fpset_u=[u1,u2];
grid on;
```

```
xlabel("p"); ylabel("x");
plot( s1(1,:), s1(2,:), "1", \
      s2(1,:), s2(2,:), "1", \
      u2(1,:), u2(2,:), "2" ); pause;
u1は空なので、プロットしようとするとエラーになる。
```



ピッチフォーク分岐 以上の結果を、 $p = 1$ から $p = -1$ の方向にたどると、次のことがいえる。

- $p > 0$ では安定平衡点 $x = 0$ のみが存在する。
- $p = 0$ において、 $x = 0$ が不安定化し、 $x = 0$ の上下に新たな安定平衡点が生じる。

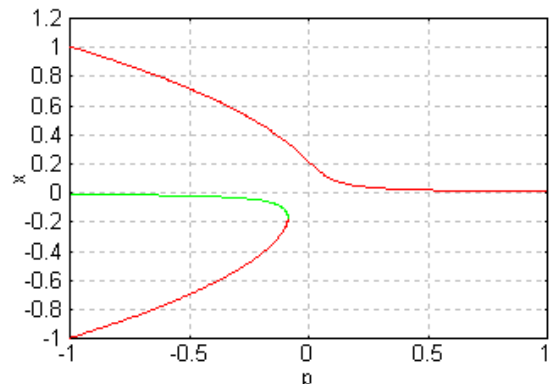
このような変化の仕方を、超臨界ピッチフォーク分岐 (super critical pitchfork bifurcation) という。

一般に、平衡点の性質や個数が変化する現象を分岐現象といい、分岐が起こる境界点を分岐点という。以上の例では、 $p = 0$ が分岐点である。

サドル・ノード分岐 これまでの例では、以下の Duffing 系において $F = 0$ としてきた。

$$\begin{cases} \dot{x}_1 = x_2, \\ \dot{x}_2 = -x_2 - px_1 - x_1^3 + F. \end{cases}$$

Exercise 2 $F \neq 0$ のときに分岐図がどう変化するか、確認せよ。



このような $F \neq 0$ のときに生じる分岐現象を、サドル・ノード分岐という。サドルノード分岐点では、サドルと安定ノードの組が消失する。

2.4 分岐点の接続

分岐点の判定 各平衡点 \bar{x} のヤコビ行列 $Df(\bar{x})$ の固有値 λ :

$$P(\lambda) := \det(Df(\bar{x}) - \lambda I) = 0$$

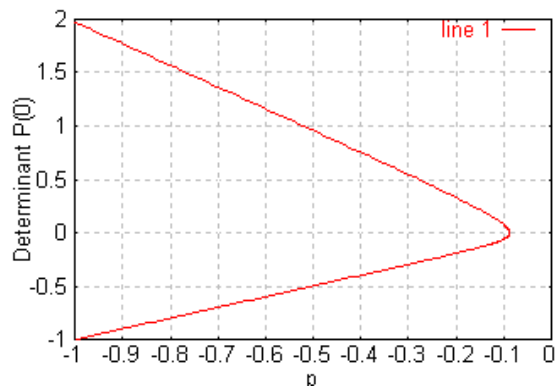
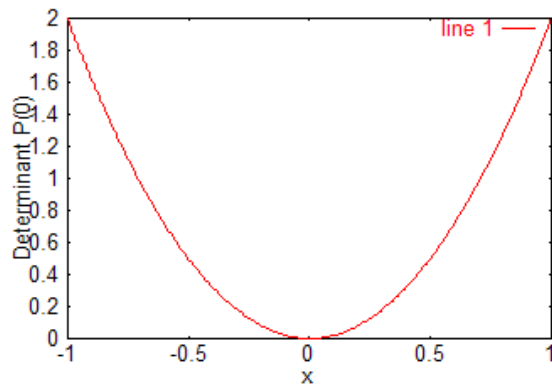
を計算すると、分岐図が垂直に切り立つ点で実部が零になる。これを分岐点という。

分岐点の特殊な場合として、虚部も同時に消えて固有値が 0 になるときは、行列式の性質によって、

$$P(0) = \det(Df(\bar{x})) = 0$$

が成立する。この条件に該当する分岐点として、ピッチフォーク分岐点やサドル・ノード分岐点がある。

```
load fpset1.dat; #DufCont1.m
load fpset2.dat;
fps = fpset1;
function A=jaco( x, p )
    A=[0, 1; -p-3*x**2, -1];
endfunction
p=fps(:,1); x=fps(:,2);
det_jac=[];
for i=1:rows(x)
    det_jac(i) = det(jaco(x(i),p(i)));
endfor
ylabel("Determinant P(0)");
xlabel("x"); plot( x, det_jac ); pause;
xlabel("p"); plot( p, det_jac ); pause;
```



分岐点の接続 平衡点の方程式と $P(0) = 0$ を連立して解く。